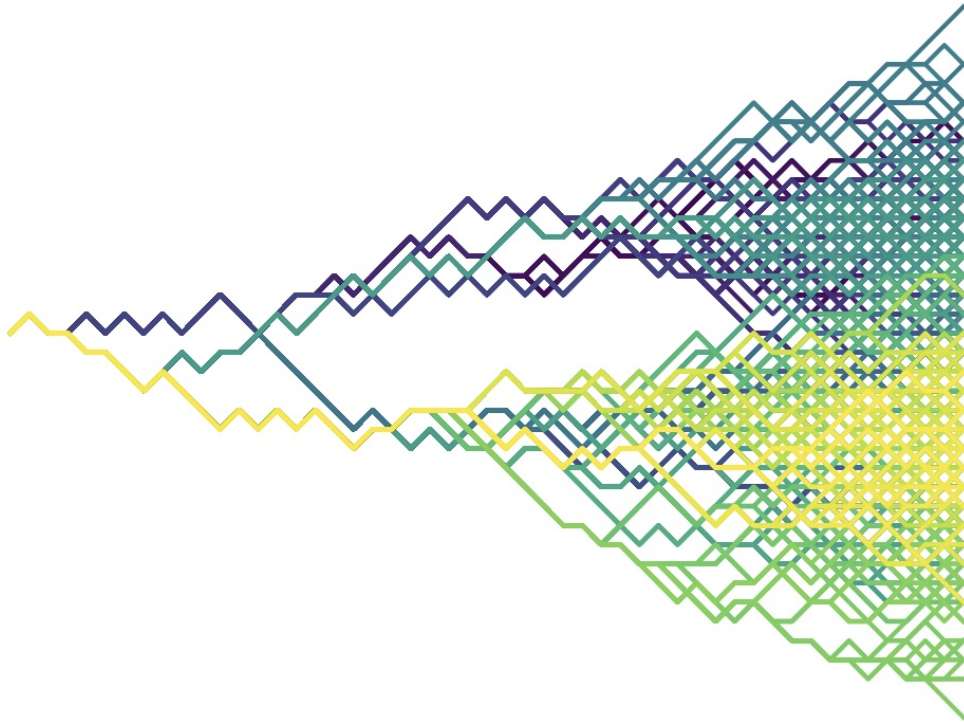


# Projet S8 : Marche Aléatoire Branchante



**Auteurs :** YAKOUBI Elies

**Date :** 20 juin 2023

## Remerciement

Je tiens à exprimer mes sincères remerciements à M. Bastien Mallein pour son soutien et son accompagnement tout au long de la réalisation de ce projet. Sa guidance précieuse, son expertise et son enthousiasme ont été d'une grande valeur pour la réussite de ce travail.

M. Mallein m' a non seulement fourni des conseils avisés sur la méthodologie de recherche, mais a également consacré du temps et de l'énergie pour discuter et échanger sur les différentes idées et les approches à suivre. Sa patience, son expertise et sa passion pour le sujet ont été une source d'inspiration.

# Sommaire

Introduction . . . . .	4
0.1 La marche aléatoire branchante . . . . .	4
0.2 Objectifs et méthodologie . . . . .	4
<b>1 Modélisation naïve d' une marche aléatoire branchante</b>	<b>5</b>
1.1 Description de la methode naïve . . . . .	5
1.1.1 Resultat de l algorithme . . . . .	6
1.1.2 Conclusion . . . . .	7
<b>2 Méthode Alternative de l'Urne</b>	<b>8</b>
2.1 Description de la méthode . . . . .	8
2.2 Mise en place de l'algorithme . . . . .	9
2.3 Resultats . . . . .	9
2.4 Conclusion . . . . .	10
<b>3 Méthode de simulation à partir de l' équation de Fisher, Kolmogorov, Petrovsky, Piscounov</b>	<b>11</b>
3.1 Présentation de l'équation de Fisher, Kolmogorov, Petrovsky, Piscounov . . . . .	11
3.2 Résolution de l'equation de F-KPP . . . . .	12
3.3 Modélisation de la marche aleatoire grace a l equation de FKPP . . . . .	13
3.4 Resultats . . . . .	15
<b>4 Conclusion</b>	<b>17</b>
<b>5 Annexe</b>	<b>18</b>
5.1 Algorithme naif . . . . .	18
5.2 Algorithme de l urne . . . . .	22
5.3 Algorithme de la simulation par F-KPP . . . . .	24
<b>6 Bibliographie</b>	<b>28</b>

# Introduction

## 0.1 La marche aléatoire branchante

Les marches aléatoires branchantes sont des modèles appartenant au domaine des probabilités et des statistiques qui décrivent des particules se déplaçant de manière aléatoire dans un espace et ce divisant de manière régulière.

Ces marches présentent un comportement complexe et sont un sujet de recherche fascinant dans le domaine des mathématiques et de la modélisation stochastique. Dans une marche aléatoire branchante, une particule peut effectuer différents types de mouvements à chaque étape. Elle peut se déplacer vers la gauche avec une probabilité  $pl$ , vers la droite avec une probabilité  $pr$ , ou se diviser en 2 particules distinctes avec une probabilité  $r$ . Les deux nouvelles particules suivront ensuite la même loi de déplacement que la particule d'origine, c'est-à-dire qu'elles auront les mêmes probabilités  $pr$ ,  $pl$  et  $r$  pour leurs mouvements futurs. Ces probabilités obéissent à la formule des probabilités totales, c'est-à-dire que :

$$pl + pr + r = 1$$

Ces marches aléatoires branchantes sont couramment utilisées pour modéliser divers phénomènes du monde réel. Comprendre comment générer efficacement et précisément ces processus est essentiel pour de nombreuses applications pratiques, telles que la modélisation de la volatilité des prix sur les marchés financiers ou la prévision de la croissance de structures biologiques ( les arbres, les réseaux neuronaux ou les vaisseaux sanguins).

Dans ce rapport, nous explorerons en détail le concept des marches aléatoires branchantes. Nous aborderons les méthodes efficaces pour générer et simuler ces processus, en mettant en évidence les outils et les techniques utilisés dans le domaine des mathématiques et de la modélisation stochastique. À travers cette étude approfondie des marches aléatoires branchantes, nous espérons fournir une compréhension claire de ce concept complexe et de son potentiel dans divers domaines de recherche et d'application pratique.

## 0.2 Objectifs et méthodologie

L'objectif de ce projet est de simuler un algorithme complexe basé sur l'équation de FKPP (Fisher-Kolmogorov-Petrovsky-Piskunov) afin de réaliser une marche aléatoire branchante et d'observer la particule ayant la position la plus à droite. Cette approche, qui repose sur des calculs de probabilités, offre une solution efficace pour effectuer des simulations à long terme, tout en évitant les problèmes de mémoire et les temps de calcul prohibitifs rencontrés avec d'autres méthodes.

Il est crucial d'utiliser cette méthode basée sur l'équation de FKPP pour mener des simulations à grande échelle sur une longue période de temps. En effet, les approches traditionnelles peuvent rapidement devenir impraticables en raison de contraintes de mémoire et de temps de calcul. Grâce à cette approche efficace, nous serons en mesure d'observer la particule la plus à droite de manière précise et réaliste, tout en maintenant des performances computationnelles acceptables.

La simulation de marche aléatoire, même sur une machine puissante, peut rapidement saturer la mémoire et entraîner des problèmes de performance. Il est donc crucial de trouver une approche astucieuse pour modéliser efficacement les quantités d'intérêt liées à ce processus. Bien que très utile pour de nombreuses applications, elle peut devenir un défi si elle est mal implémentée.

Le premier chapitre de ce rapport présentera une méthode volontairement simpliste qui soulignera un problème majeur : le temps de calcul et la saturation de la mémoire. Pour résoudre ce problème, le chapitre 2 présentera une méthode avec un temps de calcul raisonnable, mais qui présentera un inconvénient non présent dans le premier algorithme : la perte de la généalogie des particules. Ces deux premiers exemples de simulation nous permettront donc, dans le chapitre 3, de présenter l'algorithme de simulation basé sur l'équation de FKPP de manière plus détaillée et complète.

# Chapitre 1

## Modélisation naïve d' une marche aléatoire branchante

### 1.1 Description de la methode naïve

Tout d'abord, nous allons présenter une approche dite "naïve" de simulation de la marche aléatoire branchante. Cette approche peut être tentante à première vue, car elle est simple à mettre en œuvre. Cependant, nous allons montrer qu'elle présente des limites importantes en termes de performance et de gestion de la mémoire.

Pour illustrer cela, nous vous proposerons un exemple de script Python qui simule la marche aléatoire branchante de la manière la plus simple possible.

En comprenant les défauts de cette approche naïve, nous pourrions ensuite explorer des solutions plus sophistiquées et optimisées pour modéliser la marche aléatoire branchante de manière efficace.

Nous aborderons les différentes stratégies et techniques qui peuvent être utilisées pour améliorer les performances de génération de la marche aléatoire branchante tout en évitant les problèmes de saturation de la mémoire.

voici le pseudo-code de l' algorithme que nous avons mis en place

---

**Algorithm 1** Simulation des trajectoires des particules

---

**Variables:**  $p, q, r$  : les probabilités ;  $Nbr$  : le nombre d' itérations de la simulation

**Sortie** : Listes de particules, trajectoires et positions

Initialiser les listes pour les particules, les trajectoires et les positions

**for** *chaque itération jusqu'à Nbr* **do**

    Initialiser les listes pour les nouvelles particules et les nouvelles trajectoires   Récupérer les dernières valeurs des positions maximales enregistrées

**for** *chaque particule* **do**

        Récupérer la position de la particule actuelle et sa trajectoire   Déterminer un déplacement  $dx$  basé sur un tirage aléatoire   **if** *le tirage aléatoire est dans la plage pour la division* **then**  
            Ajouter une particule enfant

**end**

        Mettre à jour la position de la particule et conserver les nouvelles positions maximales   Ajouter la nouvelle particule et sa trajectoire aux nouvelles listes

**end**

    Mettre à jour les listes de particules et de trajectoires avec les nouvelles listes   Enregistrer les nouvelles positions maximales et la position de la particule la plus à droite

**end**

---

Le script Python correspondant est fourni en annexe pour votre référence.

### 1.1.1 Resultat de l'algorithme

Nous traçons différents graphes pour mieux comprendre le comportement des particules de la marche aléatoire branchante.

Dans la figure 1.1, nous traçons sur un même graphique la position de la particule la plus haute à chaque étape (en vert) ainsi que la trajectoire (en orange) de la particule qui sera la plus à droite au temps terminal. On observe que la trajectoire orange peut s'éloigner de façon importante de la trajectoire verte. Enfin, on trace en bleu une trajectoire typique de la marche branchante. Cette représentation nous permet de visualiser la différence de comportement entre ces particules et d'observer comment leur trajectoire évolue au fil du temps.

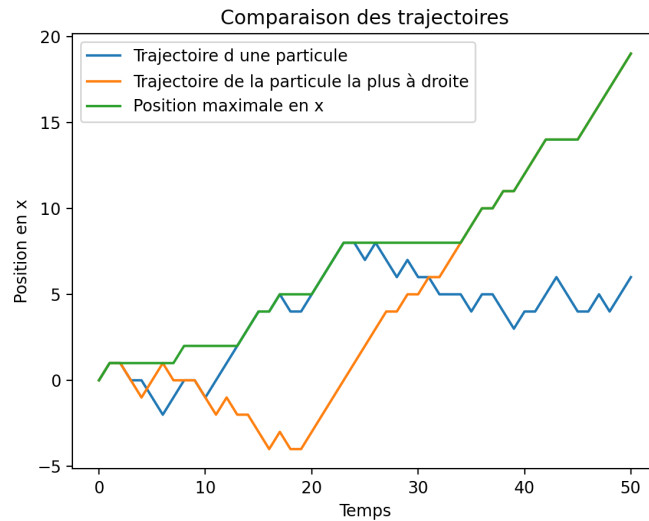


FIGURE 1.1 – Comparaison de différentes trajectoires d'une marche aléatoire branchante.

La figure 1.2 représente l'ensemble des trajectoires des particules. Nous avons observé une forme de cône qui se dessine à mesure que le nombre de particules augmente. Cette représentation nous a permis de mieux comprendre l'évolution de la distribution des particules dans l'espace au fil du temps.

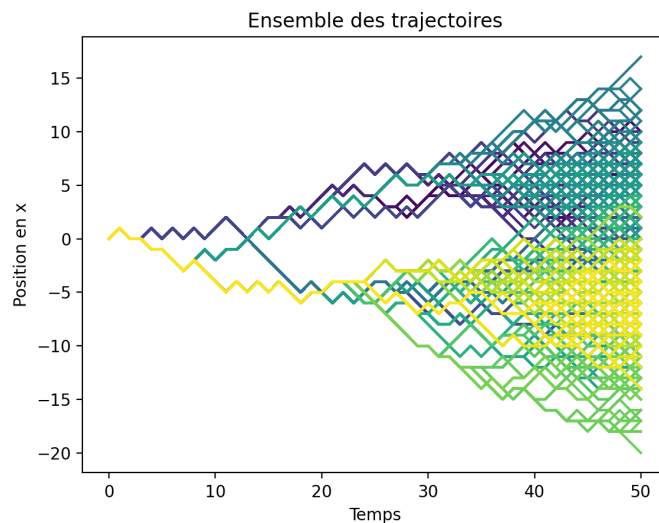


FIGURE 1.2 – ensemble des trajectoires

Nous avons également effectué une mesure en échelle logarithmique du temps d'exécution de notre algorithme. Sur la Figure 1.3, il est clairement visible que le temps d'exécution présente une croissance exponentielle. Cette tendance s'explique par le fait que lorsque les particules se divisent, nous avons deux nouvelles particules indépendantes à suivre, ce qui devient rapidement problématique en termes de mémoire et de temps de calcul. Le temps de calcul commence à devenir significatif après environ 50 itérations.

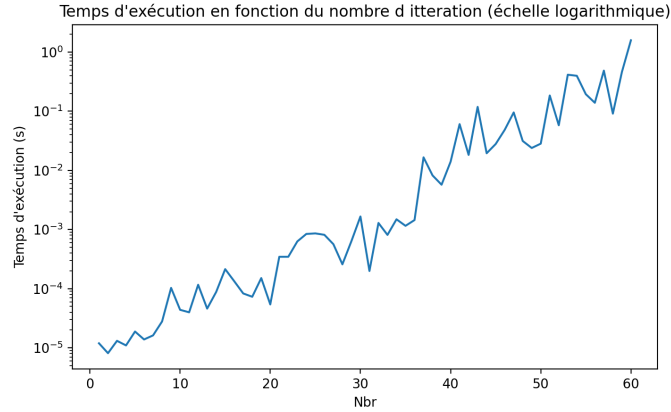


FIGURE 1.3 – Temps de calcul en fonction du nombre d'itération.

### 1.1.2 Conclusion

Les différents graphes que nous avons produits nous ont permis de visualiser clairement et avec précision les résultats de notre simulation, et nous ont aidé à mieux comprendre le comportement des particules dans le cadre de notre étude sur la marche aléatoire branchante.

Cependant, comme mentionné précédemment, cet algorithme présente des limitations. En effet, lorsque le nombre d'itérations devient trop élevé, c'est-à-dire lorsque

$$(1 + r)^n > 10^5$$

(où  $n$  représente le nombre d'itérations), le temps de calcul de l'algorithme devient considérablement plus important.

Il est donc impératif de trouver une méthode alternative pour simuler le processus sur une plus longue période de temps.

Dans le prochain chapitre, nous présenterons une méthode de simulation alternative que nous avons nommée la méthode de l'urne.

## Chapitre 2

# Méthode Alternative de l'Urne

### 2.1 Description de la méthode

La méthode de l'urne est une approche utilisée pour modéliser des processus stochastiques. Son principe est simple : une urne contient des balles de différentes couleurs, chaque couleur représentant un événement possible.

Dans notre simulation , nous adaptons cette méthode en utilisant des balles pour représenter les particules et leurs actions potentielles. Chaque couleur de balle correspond à une action spécifique : se déplacer vers la droite, se déplacer vers la gauche ou se diviser en deux nouvelles particules.

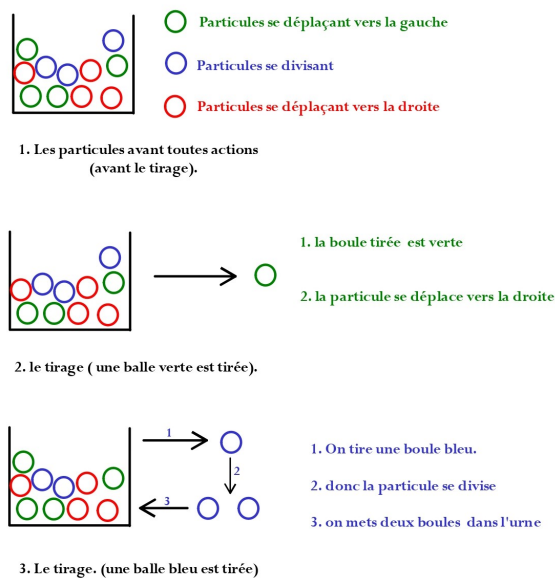


FIGURE 2.1 – Représentation schématique de la methode de l'urne



## 2.2 Mise en place de l'algorithme

Voici l'algorithme de simulation du mouvement en utilisant la méthode de l'urne :

```

1: procedure BIN( $n, p, S$ )      ▷ Fonction pour générer un nombre aléatoire if  $n > 100$  and  $n * p > S$  and
    $n * (1 - p) > S$  then
2:
   return Un nombre aléatoire de la distribution normale avec  $\mu = n * p$  et  $\sigma = \sqrt{n * p * (1 - p)}$  else
3:
   return Un nombre aléatoire de la distribution binomiale avec  $n$  et  $p$ 
4:
5:
6: procedure BRANCHINGPROCESSSIMULATION( $nombre\_etapes, p\_branch, dt$ )
7:   Initialise  $particules$       ▷ Liste de dictionnaires pour stocker le nombre de particules à chaque
   position for  $t \leftarrow 1$  to  $nombre\_etapes$  do
   —  $x \in particules[t - 1]$       ▷ Parcours de toutes les positions actuelles
8:   Obtient  $nb\_particules \leftarrow particules[t - 1][x]$  if  $nb\_particules > 0$  then
9:
    $n\_branch \leftarrow \text{BIN}(nb\_particules, p\_branch)$ 
10:   $n\_right \leftarrow \text{BIN}(nb\_particules - n\_branch, 1 - p\_branch)$ 
11:   $n\_left \leftarrow nb\_particules - n\_branch - n\_right$ 
12:  Met à jour  $particules[t][x] \leftarrow 2 * n\_branch$ 
13:  Met à jour  $particules[t][x + 1] \leftarrow n\_right$ 
14:  Met à jour  $particules[t][x - 1] \leftarrow n\_left$ 
15:
16:
17:
18:   return  $particules$ 
19: end procedure

```

Le script Python correspondant est fourni en annexe.

## 2.3 Resultats

Nous avons exécuté une simulation sur une durée de 1000 générations avec  $S = 10$ . Voici les résultats obtenus :

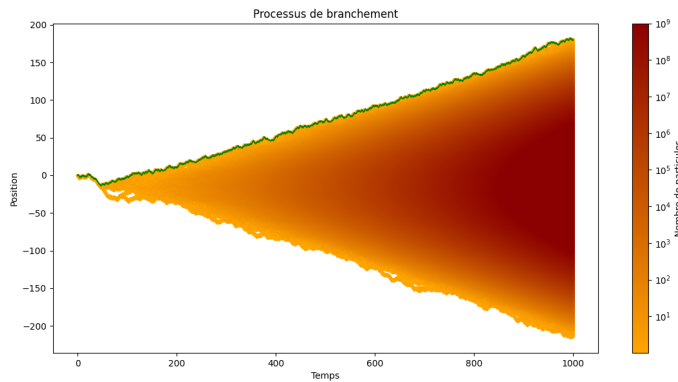


FIGURE 2.2 – Les positions occupées par les particules et leurs densités

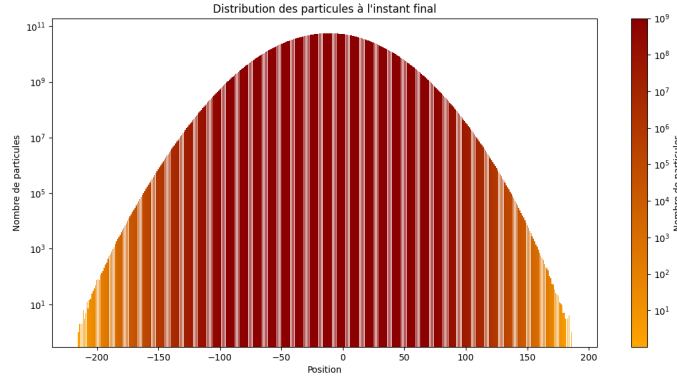


FIGURE 2.3 – Distribution normale des particules par la méthode de l’urne

Lorsque les probabilités de déplacement sont équilibrées, c’est-à-dire que la probabilité de se déplacer vers la droite est égale à la probabilité de se déplacer vers la gauche, nous observons une distribution symétrique des particules autour de la position initiale. Donc les premières générations ressemblent bien à celle de l’algorithme naïf.

L’ajustement des probabilités de division a un impact significatif sur l’évolution de la population de particules. Lorsque la probabilité de division est élevée, nous observons une augmentation rapide du nombre de particules au fil du temps.

Pour mieux visualiser la distribution des particules, nous avons représenté la concentration des particules par une nuance de couleur. Les couleurs plus intenses correspondent à des densités de particules plus élevées, tandis que les couleurs plus claires indiquent des densités plus faibles. Cette représentation visuelle facilite l’analyse et la compréhension des résultats.

Bien que la méthode de l’urne offre une approche intuitive et efficace pour simuler le mouvement des particules, elle présente certaines limites. L’une des principales limitations est que cette méthode ne conserve pas les liens entre les particules parentes et leurs descendants. Par conséquent, nous perdons des informations sur la généalogie des particules, ce qui peut être crucial pour certaines analyses.

De plus, la méthode de l’urne peut être sujette à des erreurs d’échantillonnage si les probabilités de déplacement et de division sont très faibles. Dans de tels cas, la taille de l’échantillon peut être insuffisante pour représenter avec précision la distribution des particules.

## 2.4 Conclusion

En conclusion, nous avons présenté une simulation du mouvement branchant des particules en utilisant la méthode de l’urne. Cette méthode nous permet de modéliser les déplacements et les divisions des particules de manière efficace et intuitive. Cependant, nous devons garder à l’esprit les limites de cette méthode, notamment la perte d’informations sur la généalogie des particules. Pour cette raison on introduit dans la partie suivant un simulation qui s’appuie sur les équations différentielle partiels (EDP).

## Chapitre 3

# Méthode de simulation à partir de l'équation de Fisher, Kolmogorov, Petrovsky, Piscounov

### 3.1 Présentation de l'équation de Fisher, Kolmogorov, Petrovsky, Piscounov

L'équation de FKPP, ou équation de Fisher-Kolmogorov-Petrovsky-Piscounov, a été introduite en 1937 [0] pour décrire la propagation d'une onde de densité de population dans un milieu homogène. Cette équation non linéaire est couramment utilisée pour modéliser la diffusion de populations biologiques, la combustion et la réaction-diffusion.

L'équation FKPP dans le cadre d'une marche aléatoire branchante s'écrit :

$$\frac{\partial u}{\partial t} = \frac{1}{2} \frac{\partial^2 u}{\partial x^2} + u - u^2 \text{ avec } u(0, x) = 1 \text{ si } x < 0, 0 \text{ sinon.} \quad (3.1.1)$$

où  $u(t, x)$  est la probabilité que le plus grand déplacement dépasse la position  $x$  au temps  $t$ . Cette équation est une équation de réaction-diffusion non linéaire, qui décrit la diffusion de particules ainsi que leur interaction locale.

La solution de l'équation FKPP peut être obtenue en utilisant des méthodes numériques telles que la méthode des éléments finis ou la méthode des différences finies. Dans notre cas, nous avons utilisé une discrétisation particulière pour résoudre l'équation par la méthode des éléments finis :

$$u(t + \Delta t, x) = p_r u(t, x - \Delta x) + p_l u(t, x + \Delta x) + r u(t, x)[2 - u(t, x)] \quad (3.1.2)$$

où  $\Delta t$  et  $\Delta x$  sont les pas de temps et d'espace, respectivement, et  $p_r$ ,  $p_l$ , et  $r$  représentent respectivement les probabilités que la particule se déplace vers la droite, la gauche ou se divise.

Enfin, la condition initiale pour cette équation est donnée par :

$$u(0, x) = \mathbb{1}_{x \leq 0} \quad (3.1.3)$$

où  $\mathbb{1}_{x \leq 0}$  est la fonction indicatrice qui vaut 1 si  $x \leq 0$  et 0 sinon. Cette condition initiale modélise la présence initiale des particules à gauche de la position 0.

Le lien entre l'équation de FKPP et la marche aléatoire branchante réside dans le fait que les deux modèles peuvent être utilisés pour étudier des phénomènes similaires de propagation de front. En particulier, il a été démontré que dans certaines conditions, la solution de l'équation de FKPP peut être approximée par un processus de marche aléatoire branchante.

Plus précisément, si l'on considère une échelle discrète dans l'espace, où chaque site est occupé par une particule, alors la densité de population dans l'équation de FKPP peut être reliée au nombre moyen de particules dans la marche aléatoire branchante. Dans cette analogie, la diffusion correspond au mouvement aléatoire des particules, et la croissance de la population est associée à la possibilité de division de la particule.

Notre objectif sera donc de calculer la probabilité que la particule la plus à droite se trouve à droite d'une position  $X$  prédéfinie. Nous souhaitons calculer la probabilité  $P(R_t \geq x) = u(t, x)$  (avec  $u$  la solution de l'équation FKPP), où  $R_t$  représente la position de la particule la plus à droite à l'instant  $t$ . Cette probabilité

est donnée par la solution de l'équation. Nous allons choisir un horizon temporel  $T$  et un objectif  $X$  pour pouvoir faire des observations. Nous avons également besoin de définir trois ensemble de particules, codés par leur couleur.

**Définition 1 :** Une particule est rouge si sa descendance la plus à droite à l'instant  $T$  se trouve dans l'intervalle  $[X, +\infty]$ .

**Définition 2 :** Une particule est orange si sa descendance la plus à droite à l'instant  $T$  se trouve dans l'intervalle  $[X - \Delta, X]$ .

**Définition 3 :** Une particule est bleue si sa descendance la plus à droite à l'instant  $T$  se trouve dans l'intervalle  $[-\infty, X - \Delta]$ .

*Remarque 1.* Notons également que si une particule n'est ni rouge ni orange elle est obligatoirement bleu.

## 3.2 Résolution de l'équation de F-KPP

Comme énoncé dans la partie précédente, nous allons résoudre l'équation aux dérivées partielles (3.1.1) en utilisant la méthode des différences finies (3.1.2).

Ci-dessous se trouve un script Python qui implémente cette méthode :

```

1 dx = 0.1 # Pas d'espace
2 dt = 0.01 # Pas de temps
3 pr = 0.3 # Valeur de pr
4 pl = 0.3 # Valeur de pl
5 r = 0.4 # Valeur de r
6
7 # Param tres du domaine spatial et temporel
8 x_min = -10.0
9 x_max = 10.0
10 t_max = 1.0
11
12 # Nombre de points de discr tisation
13 Nx = int((x_max - x_min) / dx) + 1
14 Nt = int(t_max / dt) + 1
15
16 # Cr ation du tableau pour stocker les valeurs de u
17 u = np.zeros((Nt, Nx))
18
19 # Condition initiale
20 u[0, :] = np.where(np.linspace(x_min, x_max, Nx) <= 0, 1, 0)
21
22 # Boucle temporelle pour r soudre l'EDP
23 for i in range(1, Nt):
24     for j in range(1, Nx - 1):
25         u[i, j] = pr*u[i-1, j-1] + pl*u[i-1, j+1] + r*u[i-1, j]*(2 - u[i-1, j])

```

Nous avons également décidé de tracer les solutions de cette équation à différents moments. Ci-dessous, le graphique qui illustre les solutions à different temps de notre équation.

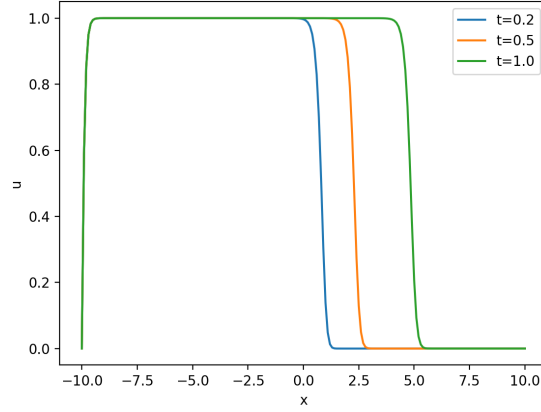


FIGURE 3.1 – Solution de l'équation F-KPP avec condition initiale  $1_x \leq 0$ , tracée aux temps 0.2, 0.5 et 1.

### 3.3 Modélisation de la marche aleatoire grace a l equation de FKPP

Maintenant que nous avons résolu l'équation de FKPP grâce à la méthode des éléments finis, nous sommes en mesure de fournir des probabilités permettant de prédire la couleur d'une particule. Les probabilités obtenues sont les suivantes :

Après avoir défini  $U(t, x)$  et  $V_\Delta(t, x)$  comme les probabilités suivantes :

$$U(t, x) = \mathbf{P}(\text{ particule est rouge}) = u(T - t, X - x)$$

$$V_\Delta(t, x) = \mathbf{P}(\text{la particule est orange}) = U(t, x + \Delta) - U(t, x)$$

nous pouvons calculer les 5 probabilités conditionnelles suivantes en utilisant que  $P(R_t > x) = u(t, x)$  :

$$\mathbf{P}(\text{ particule va à droite} \mid \text{ particule est rouge}) = p_r \frac{U(t + \delta t, x + \delta x)}{U(t, x)}$$

$$\mathbf{P}(\text{ particule va à gauche} \mid \text{ particule est rouge}) = p_l \frac{U(t + \delta t, x - \delta x)}{U(t, x)}$$

$$\mathbf{P}(\text{ particule se divise en 2 particules rouges} \mid \text{ particule est rouge}) = r \cdot \frac{U(t + \delta t, x)^2}{U(t, x)}$$

$$\mathbf{P}(\text{ particule se divise en 1 particule rouge et 1 orange} \mid \text{ particule est rouge}) = r \cdot \frac{2U(t + \delta t, x)V_\Delta(t + \delta t, x)}{U(t, x)}$$

$$\mathbf{P}(\text{ particule se divise en 1 particule rouge et 1 bleu} \mid \text{ particule est rouge}) = r \cdot \frac{2U(t + \delta t, x)(1 - U(t + \delta t, x + \Delta))}{U(t, x)}$$

*Remarque 2.* On note que la formule des probabilités totales est vérifiée pour ces 5 probabilités.

En utilisant ces probabilités conditionnées à la particule rouge, nous pouvons déduire les probabilités conditionnées à la particule orange en remplaçant  $U(t, x)$  par  $V_\Delta(t, x)$ . Ainsi, les probabilités conditionnelles sachant que la particule est orange sont les suivantes :

$$\mathbf{P}(\text{particule va à droite} \mid \text{ particule est orange}) = p_r \left( \frac{V_\Delta(t + \delta t, x + \delta x)}{V_\Delta(t, x)} \right)$$

$$\mathbf{P}(\text{particule va à gauche} \mid \text{ particule est orange}) = p_l \left( \frac{V_\Delta(t + \delta t, x - \delta x)}{V_\Delta(t, x)} \right)$$

$$\mathbf{P}(\text{particule se divise en 2 particules oranges} \mid \text{ particule est orange}) = r \cdot \left( \frac{V_\Delta(t + \delta t, x)^2}{V_\Delta(t, x)} \right)$$

$$\mathbf{P}(\text{particule se divise en 1 particule orange et 1 bleu} \mid \text{ particule est orange}) = r \cdot \left( \frac{2V_\Delta(t + \delta t, x)(1 - U(t + \delta t, x + \Delta))}{V_\Delta(t, x)} \right)$$

Grâce à ces différentes probabilités, nous sommes maintenant en mesure d'effectuer une simulation en partant d'une seule particule rouge. Cette simulation nous permettra de modéliser une marche aléatoire branchante et de tracer l'ensemble des particules rouges et oranges. Nous négligeons les particules bleues qui ne sont pas pertinentes, car elles ne font pas partie des particules les plus à droite. Cela nous permet d'optimiser à la fois le temps de calcul et l'utilisation de la mémoire.

voici le pseudo-code de l' algorithme que nous avons mis en place :

---

**Algorithm 2** Simulation des particules en utilisant l' equation de F-KPP

---

**Paramètres:** Paramètres de la simulation

// Résolution de l'équation FKPP

Résoudre l'équation FKPP pour obtenir  $u(x, t)$  en utilisant la méthode des éléments finis

// Initialisation des particules

Initialiser la liste des particules avec une particule rouge à l'origine (0, 0)

// Simulation

**while** *Le temps de simulation n'a pas atteint la valeur finale T* **do**

**foreach** *particule dans la liste des particules* **do**

**if** *La particule est rouge* **then**

            Calculer les probabilités conditionnelles correspondantes en utilisant les formules fournies

            Effectuer un choix en utilisant les probabilités conditionnelles pour déterminer le mouvement de la particule

            Ajouter de nouvelles particules rouges et oranges en fonction du choix effectué

**end**

**if** *La particule est orange* **then**

            Calculer les probabilités conditionnelles correspondantes en utilisant les formules fournies

            Effectuer un choix en utilisant les probabilités conditionnelles pour déterminer le mouvement de la particule

            Ajouter de nouvelles particules rouges et oranges en fonction du choix effectué

**end**

**end**

**end**

// Tracer les positions des particules

Tracer les positions des particules rouges et oranges obtenues lors de la simulation

---

Le script Python correspondant est fourni en annexe pour votre référence.

### 3.4 Resultats

Nous traçons différents graphes pour mieux comprendre le comportement des particules de la marche aléatoire branchante.

La Figure 3.2 présente les trajectoires complètes des particules rouges et oranges à l'instant  $T=8$ , avec une valeur de  $X$  égale à 4 et un  $\delta$  de 0.5. Une observation attentive révèle que les particules rouges occupent l'intervalle  $[X, +\infty]$ , tandis que les particules oranges se trouvent dans l'intervalle  $[X - \Delta, X]$ . Cette observation offre une précision accrue et couvre une échelle de temps bien plus étendue que celle de la partie 1 de l'étude.

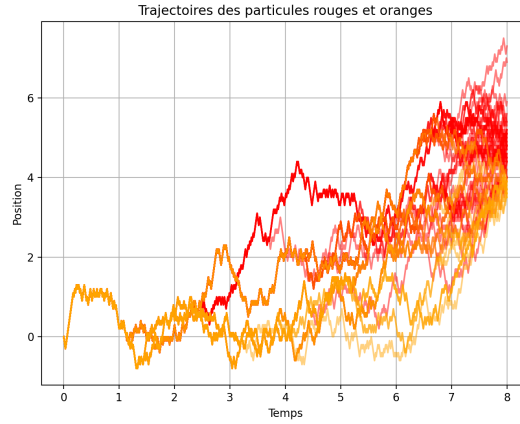


FIGURE 3.2 – ensemble des trajectoires rouge et orange

La Figure 3.3 présente une représentation visuelle des trajectoires distinctes des particules en rouge et en orange, illustrées sur des graphiques individuels. Cette visualisation permet d'observer clairement les comportements et les tendances spécifiques de chaque ensemble de trajectoires.

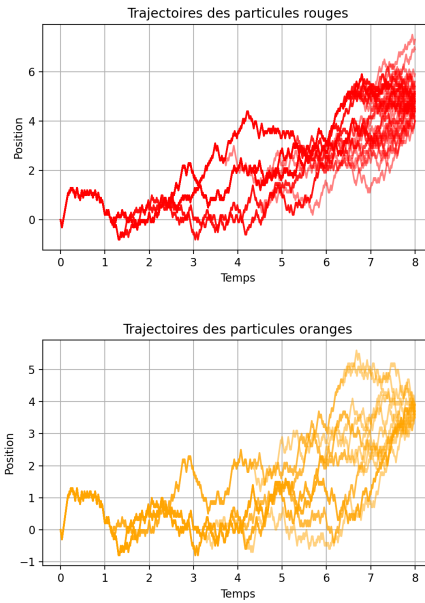


FIGURE 3.3 – ensemble des trajectoires rouge et orange sur des graphiques séparés

La Figure 3.4 met en évidence la trajectoire de la particule atteignant la position la plus à droite à la fin de la simulation. Cette représentation graphique nous permet de visualiser clairement le parcours parcouru par cette particule spécifique tout au long de l'expérience.

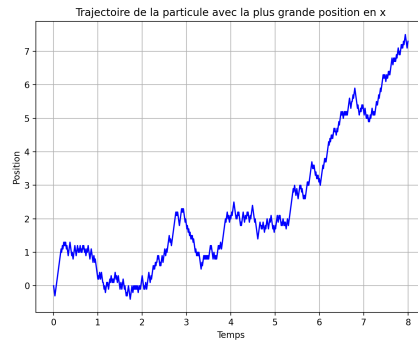


FIGURE 3.4 – trajectoire de la particule la plus a droite

La Figure 3.5 présente une représentation du temps de calcul de la simulation, mesuré à l'échelle logarithmique. Une observation remarquable est que le temps de calcul dans la Figure 3.5 est nettement inférieur à celui de la Figure 1.3. Cette différence notable met en évidence une amélioration significative de l'efficacité du processus de simulation. En utilisant une échelle logarithmique, nous pouvons clairement visualiser l'écart important entre les deux temps de calcul. Ce graphique démontre les progrès réalisés dans l'optimisation des algorithmes. L'observation de ces résultats encourageants renforce la confiance dans l'utilisation de cette méthode de simulation et ouvre de nouvelles perspectives pour des applications plus complexes et des analyses approfondies.

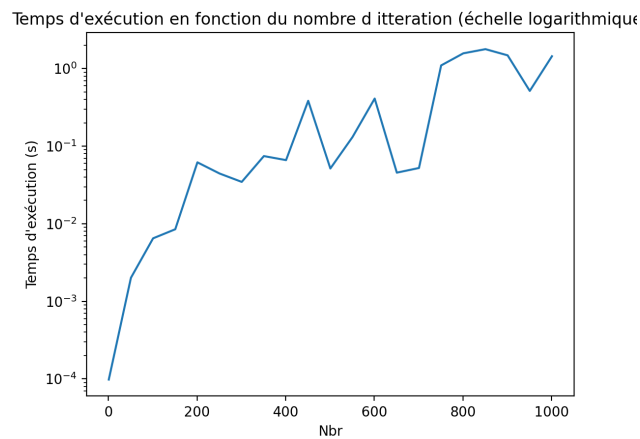


FIGURE 3.5 – temps de calcul de la simulation grace à l' equation de F-KPP



## Chapitre 4

# Conclusion

Dans ce rapport, nous avons examiné différentes méthodes pour simuler une marche aleatoire branchante. La première méthode présentée a révélé certaines limites, notamment en termes de consommation de mémoire et de temps de calcul. Afin d'optimiser le code, nous avons développé une seconde méthode qui a considérablement accéléré le temps de calcul. Cependant, cette approche a également entraîné une perte de généalogie des particules.

Pour surmonter ces limitations, nous avons proposé une troisième méthode qui combine les avantages des deux premières. Cette méthode se révèle à la fois rapide et permet d'accéder à la généalogie des particules. De plus, en classant les particules en rouge, orange et bleu, nous avons pu éliminer un grand nombre de particules qui ne nous intéressaient pas, ce qui a contribué à une meilleure efficacité du processus.

En conclusion, la troisième méthode que nous avons mise en œuvre s'est avérée plus performante que les deux premières. Elle a permis d'obtenir des résultats plus rapidement tout en conservant la généalogie des particules. Cette approche représente donc une solution efficace pour résoudre le problème étudié. Cependant, il convient de noter que des améliorations supplémentaires pourraient être envisagées pour optimiser davantage le code et explorer d'autres aspects pertinents de cette problématique et pouvoir par exemple faire la simulation sur un temps continue et non discret.

# Chapitre 5

## Annexe

### 5.1 Algorithme naïf

Voici l'algorithme de simulation "naïf" que nous avons implémenté :

```
1 import random
2 import matplotlib.pyplot as plt
3 import time
4
5 p = 0.4 # probabilit d'aller vers la droite
6 q = 0.4 # probabilit d'aller vers la gauche
7 r = 0.2 # probabilit de se diviser en deux
8 Nbr=50 # nombre d iteration dans la boucle de simulation
9 # initialisation des variables
10 particules = [0]
11 trajectoires = [[0]]
12 positions_max_x = [0]
13 positions_x_premiere_particule = [0]
14 positions_x_particule_plus_droite = [0]
15 debut=time.time()
16 # boucle de simulation
17 for i in range(Nbr):
18     nouvelles_particules = []
19     nouvelles_trajectoires = []
20     max_x = positions_max_x[-1]
21     particule_plus_droite_x = positions_x_particule_plus_droite[-1]
22     for j in range(len(particules)):
23         x = particules[j]
24         trajectoire = trajectoires[j]
25         dx = 0
26         rdn = random.random()
27         if rdn < p:
28             dx = 1
29         elif rdn < p + q:
30             dx = -1
31         elif rdn < p + q + r:
32             # ajouter une particule enfant sans changement de position
33             nouvelles_particules.append(x)
34             nouvelle_trajectoire = trajectoire.copy()
35             nouvelle_trajectoire.append(x)
36             nouvelles_trajectoires.append(nouvelle_trajectoire)
37
38     x += dx
39     max_x = max(max_x, x) # mettre jour la position maximale en x
40     # mettre jour la particule la plus droite
41     particule_plus_droite_x = max(particule_plus_droite_x, x)
42     nouvelles_particules.append(x)
43     nouvelle_trajectoire = trajectoire.copy()
44     nouvelle_trajectoire.append(x)
45     nouvelles_trajectoires.append(nouvelle_trajectoire)
```

```

46     particules = nouvelles_particules
47     trajectoires = nouvelles_trajectoires
48     # ajouter la position maximale en x pour cet instant
49     positions_max_x.append(max_x)
50     # ajouter la position en x de la première particule pour cet instant
51     positions_x_premiere_particule.append(trajectoires[0][-1])
52     # ajouter la position en x de la particule la plus droite pour cet instant
53     positions_x_particule_plus_droite.append(particule_plus_droite_x)
54 fin=time.time()
55 dure= fin - debut
56
57
58 print(f"Le code a pris {dure} secondes pour {Nbr} it rations.")
59 '''
60 Dans cette partie de notre tude sur la marche alatoire branchante, nous allons
    afficher plusieurs lments . Le premier graphe nous permettra de comparer la
    trajectoire de la première particule, celle du maximum en tout temps et celle
    de la particule la plus droite.
61 Le deuxième graphe, quant lui, nous permettra de visualiser l'ensemble des
    trajectoires et de mettre en vidence la forme de "c ne" qui se dessine au
    fil du temps.
62 En outre, nous avons d cid d'afficher individuellement chaque lment du
    premier graphe pour obtenir des affichages plus pr cis et faciliter la
    compr hension de notre tude . Ces graphes nous permettront ainsi d'analyser
    les r sultats de notre simulation de mani re claire et approfondie.
63 '''
64 #pour le premier graphe
65
66 # Obtenir la position maximale en x l'instant final
67 position_max_x = max(particules)
68
69 # Trouver la trajectoire de la particule la plus droite l'instant final
70 trajectoire_particule_plus_droite = []
71 for trajectoire in trajectoires:
72     if trajectoire[-1] == position_max_x:
73         trajectoire_particule_plus_droite = trajectoire
74         break
75
76 # Cr er une figure pour les graphes individuels
77 plt.figure()
78
79 # Tracer la trajectoire de la première particule
80 plt.subplot(311)
81 plt.plot(range(len(positions_x_premiere_particule)),
82          positions_x_premiere_particule)
83 plt.xlabel('Temps')
84 plt.ylabel('Position en x')
85 plt.title('Trajectoire d une particule')
86
87 # Tracer la position en x de la particule la plus droite
88 plt.subplot(312)
89 plt.plot(range(len(trajectoire_particule_plus_droite)),
90          trajectoire_particule_plus_droite)
91 plt.xlabel('Instant')
92 plt.ylabel('position en x ')
93 plt.title('Trajectoire de la particule la plus droite')
94
95 # Tracer la position maximale en x
96 plt.subplot(313)
97 plt.plot(range(len(positions_max_x)), positions_max_x)
98 plt.xlabel('Temps')
99 plt.ylabel('Position en x')
100 plt.title('Position maximale en x')
101
102 # Ajuster l'espace entre les graphes

```

```

103 plt.subplots_adjust(hspace=1)
104
105
106 # tracer des graphes individuels pour être plus précis :
107
108     # graph1
109     plt.figure()
110     plt.plot(range(len(positions_x_premiere_particule)),
111              positions_x_premiere_particule)
112     plt.xlabel('Temps')
113     plt.ylabel('Position en x')
114     plt.title('Trajectoire d une particule')
115
116     # graph2:
117     plt.figure()
118     plt.plot(range(len(trajetoire_particule_plus_droite)),
119              trajetoire_particule_plus_droite)
120     plt.xlabel('Temps')
121     plt.ylabel('position de la particule la plus droite')
122     plt.title('Trajectoire de la particule la plus droite')
123
124     # graph3:
125     plt.figure()
126     plt.plot(range(len(positions_max_x)), positions_max_x)
127     plt.xlabel('Temps')
128     plt.ylabel('Position en x')
129     plt.title('Position maximale en x')
130
131 # Créer une figure pour le tracé de l'ensemble des trajectoires
132 plt.figure()
133
134 # Parcourir toutes les trajectoires et les tracer
135 for trajetoire in trajectoires:
136     plt.plot(range(len(trajetoire)), trajetoire)
137
138 plt.xlabel('Temps')
139 plt.ylabel('Position en x')
140 plt.title('Ensemble des trajectoires')
141 plt.show()
142
143
144 # ici on affiche les 3 sur le même graph comme demandé :
145 import matplotlib.pyplot as plt
146
147 plt.figure()
148
149 # Tracer la trajectoire de la première particule
150 plt.plot(range(len(positions_x_premiere_particule)), positions_x_premiere_particule,
151          label='Trajectoire d une particule')
152
153 # Tracer la position en x de la particule la plus droite
154 plt.plot(range(len(trajetoire_particule_plus_droite)),
155          trajetoire_particule_plus_droite, label='Trajectoire de la particule la plus droite')
156
157 # Tracer la position maximale en x
158 plt.plot(range(len(positions_max_x)), positions_max_x, label='Position maximale en x')
159
160 plt.xlabel('Temps')
161 plt.ylabel('Position en x')
162 plt.title('Comparaison des trajectoires')
163 plt.legend()
164
165 # Afficher le graphique

```

```

164 plt.show()
165
166
167 # ensembel des trajectoire avce la palette de couleur :
168 import matplotlib.cm as cm
169
170 cmap = cm.get_cmap('viridis') # Choisissez la palette de couleurs souhait e
171
172 for i, trajectoire in enumerate(trajectoires):
173     plt.plot(range(len(trajectoire)), trajectoire, color=cmap(i/len(trajectoires)))
174
175 plt.xlabel('Temps')
176 plt.ylabel('Position en x')
177 plt.title('Ensemble des trajectoires')
178 plt.show()

```

## 5.2 Algorithme de l'urne

Voici l'algorithme de la méthode de l'Urne que nous avons implémenté :

```
1 import numpy as np
2 import matplotlib.pyplot as plt
3 from collections import defaultdict
4 from scipy.stats import norm
5 import matplotlib.colors as mcolors
6 from math import log10
7
8 def bin(n, p, S=10):
9     if n > 100 and n*p > S and n*(1-p) > S:
10         return int(norm.rvs(loc=n*p, scale=np.sqrt(n*p*(1-p))))
11     else:
12         return np.random.binomial(n, p)
13
14 def processus_branchement(nombre_etapes, proba_droite, proba_branchement, dt):
15     particules = [defaultdict(int) for _ in range(-nombre_etapes, nombre_etapes+1)]
16     particules[0][0] = 1
17
18     for t in range(1, nombre_etapes+1):
19         for x in list(particules[t-1].keys()):
20             nb_particules = particules[t-1][x]
21             if nb_particules > 0:
22                 n_branch = bin(nb_particules, proba_branchement)
23                 n_right = bin(nb_particules - n_branch, proba_droite)
24                 n_left = nb_particules - n_branch - n_right
25                 particules[t][x] += 2 * n_branch
26                 particules[t][x + 1] += n_right
27                 particules[t][x - 1] += n_left
28
29     return particules
30
31 nombre_etapes = 1000
32 proba_droite = 0.5
33 proba_branchement = 0.03
34 dt = 1
35
36 particules = processus_branchement(nombre_etapes, proba_droite, proba_branchement,
37                                     dt)
38
39 colors = ["orange", "darkred"]
40 n_bins = [10 ** i for i in range(1, 10)]
41 cmap_name = 'my_list'
42 cm = mcolors.LinearSegmentedColormap.from_list(cmap_name, colors, N=1000)
43 norm = mcolors.LogNorm(vmin=1, vmax=max(n_bins))
44
45 plt.figure(figsize=(10, 6))
46 particule_droite = []
47
48 for t in range(nombre_etapes+1):
49     x_values = list(particules[t].keys())
50     s_values = [particules[t][x] for x in x_values]
51     colors = [cm(norm(value)) for value in s_values]
52     plt.scatter([t]*len(x_values), x_values, c=colors, s=10)
53     if len(x_values) > 0:
54         particule_droite.append(max(x_values))
55
56 plt.plot(range(nombre_etapes+1), particule_droite, color='green')
57
58 plt.xlabel("Temps")
59 plt.ylabel("Position")
60 plt.title("Processus de branchement")
61
62 sm = plt.cm.ScalarMappable(cmap=cm, norm=norm)
```

```

62 sm.set_array([])
63 plt.colorbar(sm, ticks=n_bins, label='Nombre de particules')
64
65 plt.show()
66
67 # Ajout de l'histogramme
68
69 plt.figure(figsize=(10, 6))
70 x_values = list(particules[nombre_etapes].keys())
71 y_values = [particules[nombre_etapes][x] for x in x_values]
72 plt.bar(x_values, y_values, color=colors)
73 plt.yscale('log')
74 plt.xlabel("Position")
75 plt.ylabel("Nombre de particules")
76 plt.title("Distribution des particules l'instant final")
77
78 sm = plt.cm.ScalarMappable(cmap=cm, norm=norm)
79 sm.set_array([])
80 plt.colorbar(sm, ticks=n_bins, label='Nombre de particules')
81
82 plt.show()

```

## 5.3 Algorithme de la simulation par F-KPP

Voici l'algorithme permettant d'effectuer la simulation en utilisant l'équation de F-KPP :

```
1 import numpy as np
2 import matplotlib.pyplot as plt
3
4 # Param tres du domaine spatial et temporel
5 T = 10
6 X = 4
7 Delta = 0.5
8 delta_t = 0.01
9 delta_x = 0.1
10 r = delta_t
11
12 pr = 0.5 * (1 - r)
13 pl = 0.5 * (1 - r)
14
15 # Nombre de points de discr tisation
16 Nx = int(3*X / delta_x) + 1
17 Nt = int(T / delta_t) + 1
18
19 # Cr ation du tableau pour stocker les valeurs de u
20 u = np.zeros((Nt, Nx))
21
22 # Condition initiale
23 u[0, :] = np.where(np.linspace(-X, 2*X, Nx) <= 0, 1, 0)
24
25 # Calcul des indices pour la boucle temporelle
26 indices = np.arange(1, Nx - 1)
27
28 # Boucle temporelle pour r soudre l'EDP
29 for i in range(1, Nt):
30     u[i, indices] = pr * u[i - 1, indices - 1] + pl * u[i - 1, indices + 1] + r * u
31     [i - 1, indices] * (2 - u[i - 1, indices])
32
33 # Fonction U(t, x) utilisant u
34 def U(t, x):
35     i = int(round((T-t)/ delta_t))
36     j = int(round((X-x) / delta_x)) + int(X / delta_x)
37     return u[i, j]
38
39 def VDelta(t, x):
40     a = U(t, x + Delta) - U(t, x)
41     if a > 0:
42         return a
43     else:
44         return 0
45
46 # Initialisation des compteurs de particules orange et bleu
47 compteur_orange = 0
48 compteur_bleu = 0
49 compteur_rouge = 1
50 temps=1
51 # Liste pour stocker les positions de toutes les particules
52 particules = [(0, 0, "r",[(0,0)])] # La premi re particule
53
54 # Boucle pour les 1000 it rations
55 for _ in range(800):
56     # Liste temporaire pour stocker les nouvelles particules
57     nouvelles_particules = []
58
59     # Parcours des particules existantes
60     for particule in particules:
61         t, x,color,trajectoire = particule
62         if color == "r":
```



```

62     # Calcul des probabilités de déplacement et de division pour la
63     # particule courante
64     p_right = 1 if U(t, x) == 0 else pr * (U(t + delta_t, x + delta_x)
65     / U(t, x))
66     p_left = 1 if U(t, x) == 0 else pl * (U(t + delta_t, x - delta_x) /
67     U(t, x))
68     p_divide_red = 1 if U(t, x) == 0 else r * ((U(t + delta_t, x) ** 2)
69     / U(t, x))
70     p_divide_red_orange = 1 if U(t, x) == 0 else r * (2 * U(t + delta_t
71     , x) * VDelta(t + delta_t, x) / U(t, x))
72     p_divide_red_blue = 1 if U(t, x) == 0 else r * (2 * U(t + delta_t,
73     x) * (1 - U(t + delta_t, x + Delta)) / U(t, x))
74
75     a = np.random.rand()
76
77     # Déplacement de la particule
78     if a < p_right:
79         nouvelles_particules.append((t + delta_t, x+delta_x, "r",
80         trajectoire + [(t + delta_t, x + delta_x)]))
81     elif a < p_left + p_right:
82         nouvelles_particules.append((t + delta_t, x-delta_x, "r",
83         trajectoire + [(t + delta_t, x - delta_x)]))
84
85     elif a < p_divide_red + p_left + p_right:
86         nouvelles_particules.append((t + delta_t, x, "r", trajectoire +
87         [(t + delta_t, x)]))
88         nouvelles_particules.append((t + delta_t, x, "r", trajectoire +
89         [(t + delta_t, x)]))
90         compteur_rouge += 1
91     elif a < p_divide_red + p_left + p_right + p_divide_red_orange:
92         nouvelles_particules.append((t + delta_t, x, "r", trajectoire +
93         [(t + delta_t, x)]))
94         nouvelles_particules.append((t + delta_t, x, "o", trajectoire +
95         [(t + delta_t, x)]))
96         compteur_orange += 1
97     else:
98         nouvelles_particules.append((t + delta_t, x, "r", trajectoire +
99         [(t + delta_t, x)]))
100         compteur_bleu += 1
101
102     elif color == "o":
103         p_right = 1 if VDelta(t, x) == 0 else pr * (VDelta(t + delta_t, x +
104         delta_x) / VDelta(t, x))
105         p_left = 1 if VDelta(t, x) == 0 else pl * (VDelta(t + delta_t, x -
106         delta_x) / VDelta(t, x))
107         p_divide_orange = 1 if VDelta(t, x) == 0 else r * ((VDelta(t + delta_t, x)
108         ** 2) / VDelta(t, x))
109         p_divide_orange_blue = 1 if VDelta(t, x) == 0 else r * (2 * VDelta(t +
110         delta_t, x) * (1 - U(t + delta_t, x + Delta)) / VDelta(t, x))
111
112         #test
113         a = np.random.rand()
114         if a < p_right:
115             nouvelles_particules.append((t + delta_t, x+delta_x, "o",
116             trajectoire + [(t + delta_t, x + delta_x)]))
117         elif a < p_left + p_right:
118             nouvelles_particules.append((t + delta_t, x-delta_x, "o",
119             trajectoire + [(t + delta_t, x -delta_x)]))
120
121         elif a < p_divide_orange + p_left + p_right:
122             nouvelles_particules.append((t + delta_t, x, "o", trajectoire + [(t
123             + delta_t, x)]))
124             nouvelles_particules.append((t + delta_t, x, "o", trajectoire + [(t
125             + delta_t, x)]))
126             compteur_orange += 1
127         else:
128             nouvelles_particules.append((t + delta_t, x, "o", trajectoire + [(t

```

```

106         + delta_t, x ]]))
107     compteur_bleu += 1
108
109     # Mise à jour des particules
110     particules = nouvelles_particules
111
112     print("rouge orange bleu temps ")
113     print(compteur_rouge, compteur_orange, compteur_bleu, temps)
114     temps+=1
115
116     # ici on verifie que les particules ont la bonne couleur
117     # Suppression des particules dont la position finale est inférieure à X - Delta
118     particules = [(t, x, color, trajectoire) for t, x, color, trajectoire in particules
119                   if x >= X - Delta]
120
121     # Mise à jour de la couleur des particules restantes
122     particules = [(t, x, "r" if x > X else "o", trajectoire) for t, x, color,
123                   trajectoire in particules]
124
125     # Collecte des trajectoires des particules rouges et oranges à la fin de la
126     # simulation
127     trajectoires_rouges = [p[3] for p in particules if p[2] == 'r']
128     trajectoires_oranges = [p[3] for p in particules if p[2] == 'o']
129
130     # Affichage des trajectoires des particules rouges et oranges sur un graphique
131     plt.figure(figsize=(8, 6))
132     for trajectoire in trajectoires_rouges:
133         temps, positions = zip(*trajectoire)
134         plt.plot(temps, positions, color='red', alpha=0.5)
135     for trajectoire in trajectoires_oranges:
136         temps, positions = zip(*trajectoire)
137         plt.plot(temps, positions, color='orange', alpha=0.5)
138     plt.xlabel('Temps')
139     plt.ylabel('Position')
140     plt.title('Trajectoires des particules rouges et oranges')
141     plt.grid(True)
142     plt.show()
143
144     # Ici on veut la trajectoire du maximal
145
146     # Recherche de la particule avec la plus grande position en x au temps final
147     particule_max_x = max(particules, key=lambda p: p[1])
148
149     # Affichage de la trajectoire de la particule avec la plus grande position en x
150     trajectoire_max_x = particule_max_x[3]
151     temps_max_x, positions_max_x = zip(*trajectoire_max_x)
152
153     # Affichage de la trajectoire de la particule avec la plus grande position en x sur
154     # un graphique
155     plt.figure(figsize=(8, 6))
156     plt.plot(temps_max_x, positions_max_x, color='blue')
157     plt.xlabel('Temps')
158     plt.ylabel('Position')
159     plt.title('Trajectoire de la particule avec la plus grande position en x')
160     plt.grid(True)
161     plt.show()
162
163     fig, (ax1, ax2) = plt.subplots(2, 1, figsize=(8, 12))
164
165     # Graphique des trajectoires des particules rouges
166     ax1.set_xlabel('Temps')

```

```

166 ax1.set_ylabel('Position')
167 ax1.set_title('Trajectoires des particules rouges')
168 ax1.grid(True)
169 for trajectoire in trajectoires_rouges:
170     temps, positions = zip(*trajectoire)
171     ax1.plot(temps, positions, color='red', alpha=0.5)
172
173 # Graphique des trajectoires des particules oranges
174 ax2.set_xlabel('Temps')
175 ax2.set_ylabel('Position')
176 ax2.set_title('Trajectoires des particules oranges')
177 ax2.grid(True)
178 for trajectoire in trajectoires_oranges:
179     temps, positions = zip(*trajectoire)
180     ax2.plot(temps, positions, color='orange', alpha=0.5)
181
182 # Ajustement des espacements entre les sous-graphiques
183 plt.subplots_adjust(hspace=0.4)
184
185 # Affichage de la figure
186 plt.show()

```

## Chapitre 6

# Bibliographie

E. Brunet, A. D. Le, A. H. Mueller et S. Munier. *How to generate the tip of branching random walks evolved to large times.*

A. Kolmogorov, I. Petrovsky, N. Piskunov. *Fisher-KPP equation. Comptes rendus de l'Académie des Sciences*, 208 :347–349, 1937.